

УДК 552.08:551.733.1(574.3)

ПЕРВАЯ НАХОДКА КЕМБРИЙСКИХ ВУЛКАНИТОВ И ПЛАГИОГРАНИТОВ В ТЕКТУРМАССКОЙ ОФИОЛИТОВОЙ ЗОНЕ (ЦЕНТРАЛЬНЫЙ КАЗАХСТАН): ОБОСНОВАНИЕ ВОЗРАСТА И ОСОБЕННОСТИ СОСТАВА

© 2023 г. Академик РАН К. Е. Дегтярев^{1,*}, М. В. Луцицкая¹, А. А. Третьяков¹

Поступило 15.06.2023 г.

После доработки 14.07.2023 г.

Принято к публикации 20.07.2023 г.

На западе Тектурмасской офиолитовой зоны Центрального Казахстана впервые выявлен комплекс вулканитов средне-кислого и кислого состава, прорванных телами пластигогранитов. Проведено U–Pb (SIMS)-геохронологическое изучение одного из тел пластигогранитов, для которых впервые получена раннекембрийская (537 ± 5 млн лет) оценка возраста. Особенности состава эфузивов и пластигогранитов свидетельствуют об их образовании в надсубдукционной обстановке в пределах раннекембрийской примитивной вулканической островной дуги. Формирование этой дуги не было связано с эволюцией ордовикских океанических структур, комплексы которых участвуют в строении Тектурмасской зоны.

Ключевые слова: островодужные вулканиты и пластигограниты, циркон, ранний кембрий, Центральный Казахстан

DOI: 10.31857/S2686739723601291, **EDN:** LUMZRE

В западной части Центрально-Азиатского орогенного пояса, которая включает палеозойские покровно-складчатые сооружения Казахстана, Тянь-Шаня, Западной и Восточной Джунгарии, фрагменты океанической литосферы участвуют в строении протяженных (до 500–600 км) узких (1–15 км) и сложно построенных офиолитовых зон. В Джунгаро-Балхашской области, расположенной в центре этого региона, известно наибольшее количество таких зон (рис. 1), наиболее крупными из которых являются Тектурмасская, Северо-Балхашская и Агадырская в Казахстане; Танбалае, Майли и Дарабуту в Западной Джунгарии (КНР). Изучение фрагментов офиолитовых разрезов этих зон показало, что время формирования океанической литосферы в Джунгаро-Балхашской области охватывает интервал от второй половины эдиакария (около 570 млн лет) до конца девона (около 370 млн лет). Особенности строения разрезов и состава пород разновозрастных офиолитов свидетельствуют об их принадлежности к различным типам: срединно-оceanических хребтов, плюмовым (океанических островов и плато) и надсубдукционных зон [2, 10].

В зонах Танбалае, Майли и Северо-Балхашской, наряду с фрагментами разновозрастных офиолитов, присутствуют надсубдукционные образования, возраст которых охватывает интервал от раннего кембра (около 530 млн лет) до конца ордовика (около 450 млн лет). Они представлены эфузивами среднего и кислого состава, а также достаточно крупными телами гранодиоритов и пластигогранитов. Образование этих комплексов связывается с эволюцией примитивных островных дуг и происходило после формирования фрагментов наиболее древней литосферы океанического типа, выявленных в каждой из этих офиолитовых зон [7, 8, 14, 16, 17]. В Тектурмасской зоне надсубдукционных комплексов, не связанных с офиолитами, ранее установлено не было.

Тектурмасская офиолитовая зона расположена на севере Джунгаро-Балхашской области и протягивается в субширотном направлении на более чем 350 км при ширине 2–15 км. С севера она обрамляется Нуринской, а с юга – Успенской зонами, в строении которых участвуют флишевые, грубообломочные и олистостромовые толщи силурийского и нижне-среднедевонского возраста (рис. 2). Наиболее крупные деформации комплексов Тектурмасской зоны происходили в конце ордовика–начале силура, а затем в позднем девоне–начале карбона, в дальнейшем они были

¹Геологический институт Российской академии наук,
Москва, Россия

*E-mail: degtkir@mail.ru

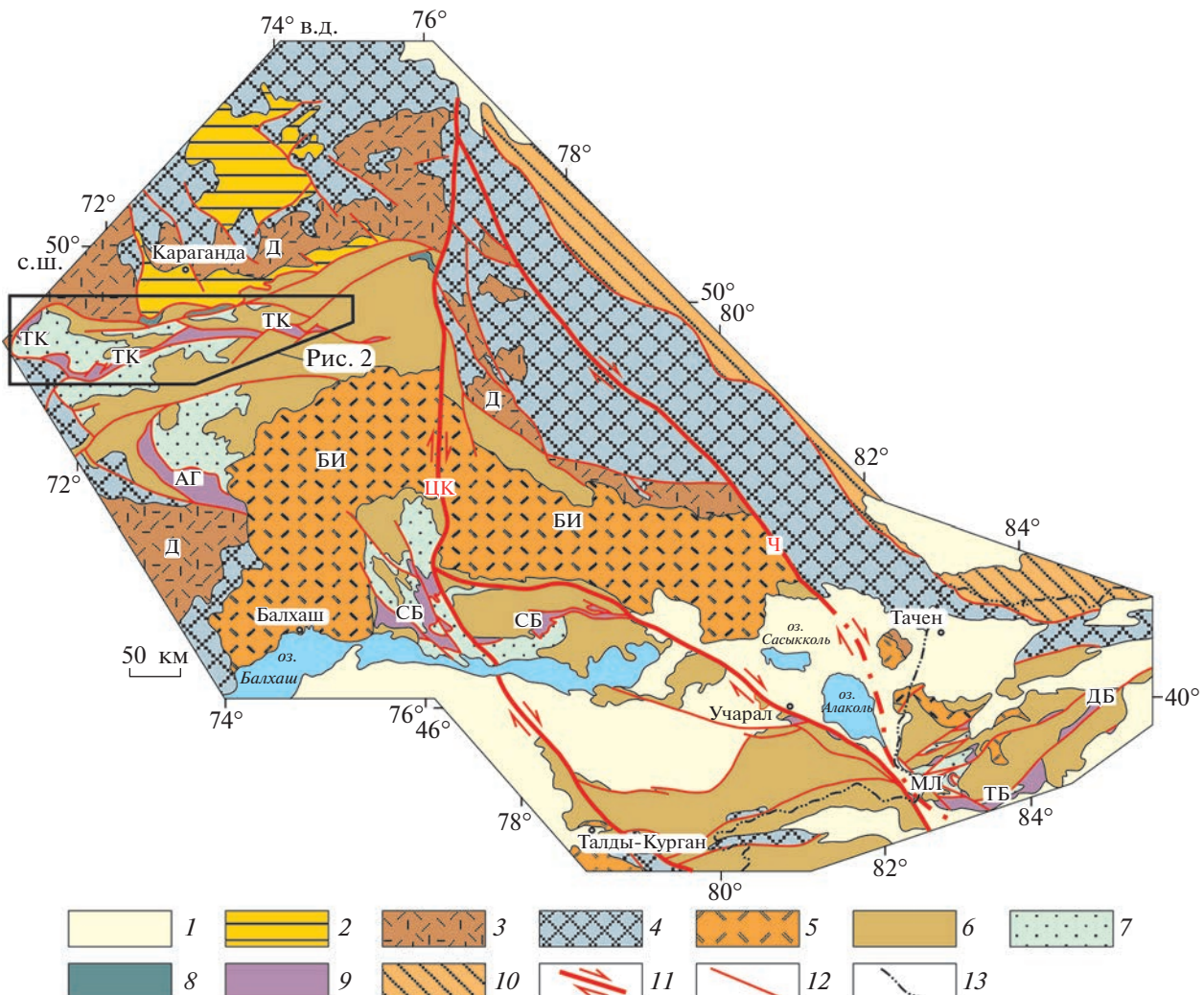


Рис. 1. Схема расположения офиолитовых зон в Джунгаро-Балхашской складчатой области. Офиолитовые зоны: ТК – Тектурмасская, АГ – Агадырская, СБ – Северо-Балхашская, ТБ – Танбалае, МЛ – Майли, ДБ – Дарабуту. Вулкано-плутонические пояса: Д – Девонский Казахстанский, БИ – Балхаш-Илийский. Крупные сдвиги: ЦК – Центрально-Казахстанский, Ч – Чингизский. 1 – мезозойские и кайнозойские отложения; 2–4 – комплексы Бошкель-Чингизской и Кокчетав-Северо-Тяньшанской складчатых областей; 5–9 – комплексы Джунгаро-Балхашской складчатой области; 10 – верхнепалеозойские континентальные вулканиты и гранитоиды; 11 – нижне-среднедевонские континентальные вулканиты и гранитоиды; 12 – додевонские образования; 13 – верхнекаменноугольные флишевые и вулканогенно-осадочные толщи; 14 – силурийские флишевые и олистостромовые толщи; 15 – ордовикские острововодные вулканиты; 16 – стратифицированные и плутонические образования офиолитовых зон; 17 – девонские и нижнекаменноугольные флишевые и вулканогенно-осадочные толщи Иртыш-Зайсанской складчатой области; 18 – наиболее крупные позднепалеозойские сдвиги; 19 – прочие разрывные нарушения; 20 – государственные границы.

несогласно перекрыты вулканогенными толщами и прорваны гранитоидами каменноугольного возраста [5].

Отличительной особенностью Тектурмассской зоны является, происходящее в ее пределах, омоложение офиолитовых разрезов с юга на север. На юге зоны присутствуют фрагменты надсубдукционных офиолитов раннего ордовика (только в виде глыб в серпентинитовом меланже), средне-ордовикских базальтов океанических островов (камаруунская свита) и средне-верхнеордовик-

ских глубоководных кремнистых пород (тектурмасская свита), а также олистостромовая толща верхнего ордовика – низов силура (сарытауская свита). На севере зоны распространены только надсубдукционные офиолиты среднего–верхнего ордовика (габбро, дайковый комплекс, плагиограниты, базальты и андезибазальты кузнецкой свиты), которые перекрываются кремнисто-туфогенной толщей верхов ордовика–нижнего силура (базарбайская свита) [1, 3, 5, 9]. Таким образом, в Тектурмассской зоне в настоящее время из-

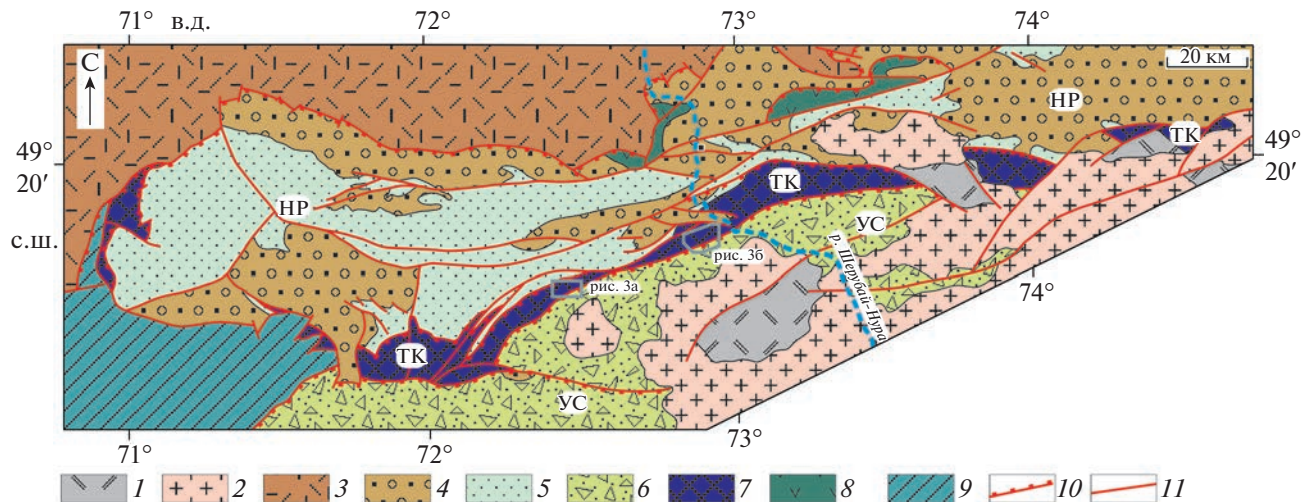


Рис. 2. Положение Тектурмассской офиолитовой зоны в структуре северной части Джунгаро-Балхашской области. Тектонические зоны: НР – Нуринская, ТК – Тектурмасская, УС – Успенская. 1 – верхнепалеозойские риолиты и дациты; 2 – позднепалеозойские гранитоиды; 3 – континентальные вулканиты и гранитоиды Казахстанского Девонского вулкано-плутонического пояса; 4 – девонские и каменноугольные обломочные и вулканогенно-осадочные толщи; 5 – силурийские терригенные толщи; 6 – силурийские терригенные толщи с пластинами кремней и яшм ордовика; 7 – ордовикские комплексы Тектурмасской офиолитовой зоны; 8 – средне-верхнеордовикские вулканогенно-осадочные толщи; 9 – нижне-среднеордовикские кремнистые и кремнисто-терригенные толщи; 10 – надвиги и грационы тектонических покровов; 11 – прочие разрывные нарушения.

вестны только ордовикские и ордовикско-нижнесилурийские образования.

В результате исследований последних лет в Тектурмасской зоне нам удалось выявить доордовикские комплексы. Они наиболее достоверно выделяются на небольшом участке в 7.5 км северо-западнее пос. Акай (Просторное) на западе зоны, где ее ширина не превышает 2 км (рис. 3 а). На севере участка большие площади занимают клинопироксен-плагиоклазовые базальты и андезибазальты, которые сопоставляются с породами кузекской свиты верхнего ордовика. В южной части участка нижнепалеозойские комплексы участвуют в строении небольшой (1.5 км × 500 м) опрокинутой на север антиклинали, которая на севере надвинута на эффузивы кузекской свиты, а на юге – на терригенные толщи нижнего силура. Крылья антиклинали сложены кремнями, яшмами, реже кремнистыми алевролитами, в которых собраны конодонты среднего ордовика (т.н. ТЕК-2105). Эти породы относятся к фрагментам разреза тектурмасской свиты среднего–верхнего ордовика. Ядро складки образовано порфировыми вулканитами средне-кислого и кислого состава, которые прорваны небольшими телами крупно-, средне- и мелкозернистых пластигранитов. Подобный комплекс пород ранее в Тектурмасской зоне был неизвестен. Нами проведено детальное изучение его строения и особенностей состава пород, а также геохронологические исследования, позволившие установить возраст.

Эффузивы представлены пластигриолитами и дацитами. Пластигриолиты имеют порфировую структуру с вкрапленниками пластигоклаза и кварца, погруженными в основную микролито-зернистую массу, сложенную микролитами пластигоклаза и кварца. Для дацитов характерны порфировая структура с вкрапленниками пластигоклаза, щелочного полевого шпата (до 2–3%), рудного минерала и микрофельзитовая основная масса. Пластигрианиты представлены в основном лейко-кратовыми разностями, имеют гипидиоморфно-зернистую структуру с участками гранофировой, сложены пластигоклазом и кварцем. Все породы частично брекчированы.

Для обоснования возраста вулканических и плутонических пород были проведены U–Pb-геохронологические исследования акцессорного циркона. Выделение циркона проводилось в ГИН РАН по стандартной методике с использованием тяжелых жидкостей. Геохронологические исследования проводились в Центре изотопных исследований ВСЕГЕИ локальным методом (SIMS) по методике, описанной в [4, 12]. Был изучен акцессорный циркон, выделенный из крупнозернистых пластигрианитов (проба ТЕК-2202: 49°04'68.1" с.ш., 72°30'25.8" в.д., рис. 3 а). В этой пробе циркон представлен в основном субдиоморфными, изометричными кристаллами таблитчатого и короткопризматического габитуса, а также их обломками, размером от 30 до 60 мкм. В некоторых кристаллах устанавливается плохо выраженная магматическая зональность (рис. 4).

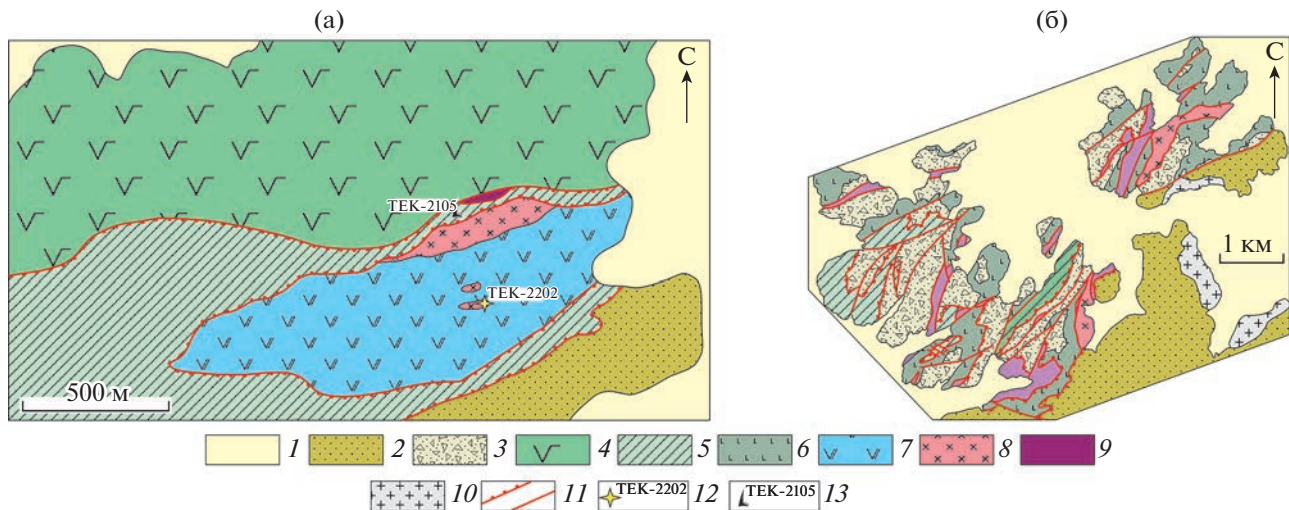


Рис. 3. Участки распространения кембрийских надсубдукционных образований в Тектурмассской олиолитовой зоне: а – северо-западнее пос. Акое (Просторное), б – восточная часть гор Сарытау. 1 – кайнозойские отложения; 2 – си-лурийские терригенные толщи; 3 – олистостромовая сарытауская толща верхнего ордовика – нижнего силура; 4 – базальты и андезибазальты кузекской свиты (?) среднего ордовика; 5 – кремни, яшмы, кремнистые алевролиты тектурмасской свиты среднего–верхнего ордовика; 6 – базальты и щелочные базальты карамурунской свиты среднего ордова-ка; 7 – плагиориолиты и дакиты раннего кембра; 8 – плагиограниты разнозернистые раннего кембра; 9 – серпентиниты, серпентинитовый меланж; 10 – позднепалеозойские гранитоиды; 11 – разрывные нарушения; а – границы тектонических пластин, б – прочие; 12 – место отбора пробы для геохронологических исследований и ее номер; 13 – местонахождение конодонтов и его номер.

U–Pb-геохронологические исследования были выполнены для 12 кристаллов циркона. Конкордантный возраст, рассчитанный по отношению $^{206}\text{Pb}/^{238}\text{U}$, составляет 537 ± 5 млн лет (рис. 5, табл. 1),

что примерно соответствует границе докембра и кембра [6].

Западнее изученного участка сходные породы были обнаружены на востоке гор Сарытау (рис. 3 б).

Таблица 1. Результаты изотопных U–Pb-геохронологических исследований циркона из плагиогранитов (проба TEK-2202)

№ анализа	$^{206}\text{Pb}_c$ %	Содержание, мкг/г			Изотопные отношения				Rho	Возраст, млн лет
		$^{206}\text{Pb}^*$	U	Th	$^{232}\text{Th}/^{238}\text{U}$	$^{207}\text{Pb}^*/^{206}\text{Pb}^*$	$^{207}\text{Pb}^*/^{235}\text{U}$	$^{206}\text{Pb}^*/^{238}\text{U}$		
TEK-2202										
11	0.00	24.1	332	145	0.45	0.0588 ± 3.3	0.6840 ± 3.8	0.0844 ± 2.0	0.51	523 ± 10
3	0.00	32.0	437	152	0.36	0.0590 ± 3.4	0.6923 ± 4.1	0.0851 ± 2.3	0.56	526 ± 12
5	0.00	49.4	668	397	0.61	0.0576 ± 2.5	0.6837 ± 3.3	0.0861 ± 2.2	0.66	532 ± 11
9	0.03	46.1	620	318	0.53	0.0589 ± 2.0	0.7020 ± 2.9	0.0865 ± 2.1	0.73	535 ± 11
7	0.04	29.7	399	181	0.47	0.0592 ± 2.8	0.7082 ± 3.4	0.0868 ± 1.9	0.55	537 ± 10
8	0.00	25.9	347	135	0.40	0.0602 ± 4.4	0.7206 ± 4.6	0.0868 ± 1.3	0.29	537 ± 7
2	0.55	29.3	392	208	0.55	0.0539 ± 4.5	0.6460 ± 5.0	0.0870 ± 2.2	0.43	538 ± 11
1	0.00	18.2	243	76	0.32	0.0574 ± 4.2	0.6902 ± 4.2	0.0871 ± 0.8	0.18	539 ± 4
10	0.00	28.6	381	181	0.49	0.0593 ± 3.9	0.7156 ± 4.3	0.0876 ± 1.8	0.42	541 ± 9
12	0.00	27.1	361	169	0.48	0.0597 ± 3.7	0.7212 ± 3.9	0.0876 ± 1.3	0.32	541 ± 7
4	0.00	50.3	667	430	0.67	0.0585 ± 2.4	0.7085 ± 2.8	0.0878 ± 1.5	0.53	543 ± 8
6	0.00	37.9	501	188	0.39	0.0580 ± 3.1	0.7051 ± 3.5	0.0882 ± 1.6	0.46	545 ± 8

$^{206}\text{Pb}_c$ – обычный Pb; $^{206}\text{Pb}^*$ – радиогенный Pb; Rho – коэффициент корреляции ошибок $^{207}\text{Pb}/^{235}\text{U}$ – $^{206}\text{Pb}/^{238}\text{U}$. Ошибки измерений изотопных отношений даны в процентах на уровне 1σ . Номера анализов в табл. 1 соответствуют номерам зерен на рис. 4.

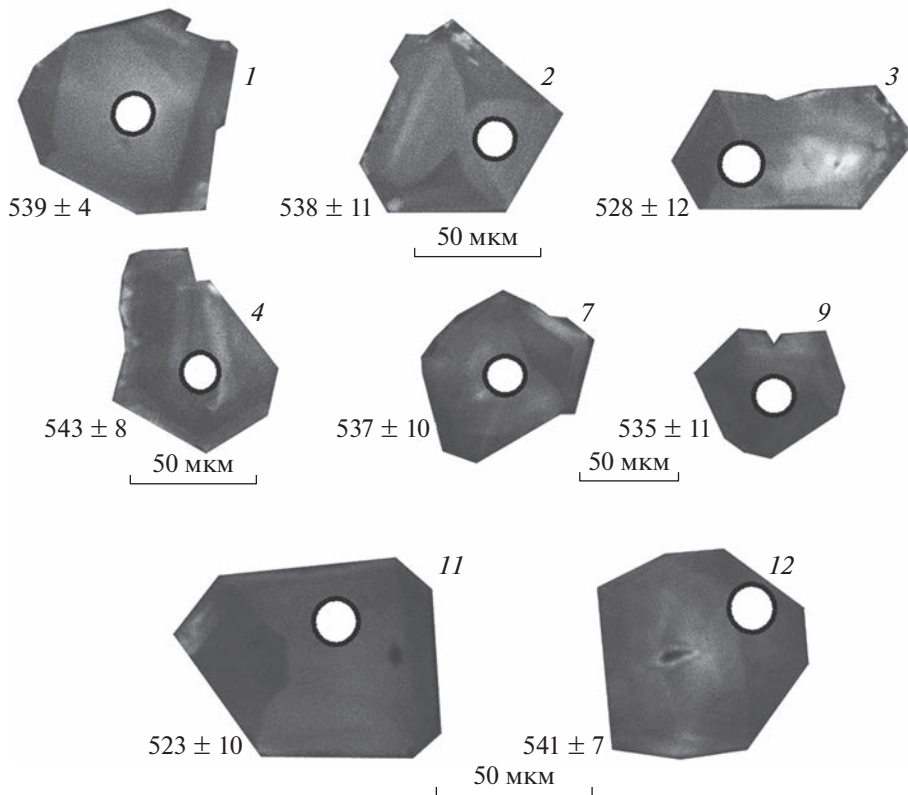


Рис. 4. Микрофотографии кристаллов циркона из пластины, выполненные на электронном микроскопе Camscan MX 2500S в режиме катодолюминесценции (проба ТЕК-2202). Номера точек соответствуют номерам в табл. 1.

Здесь выявлена узкая протяженная ($4 \text{ км} \times 500 \text{ м}$) пластина, сложенная пластинообразными различной зернистости, которые имеют тектонические контакты с породами карамурунской и сарытауской свит, а также с серпентинитовым меланжем. Многократные попытки выделения акцессорного циркона из этих пластинообразных для последующего датирования не увенчались успехом. Поэтому отнесение пластинообразных гор Сарытау к кембрийским образованиям может быть сделано только на основании близких особенностей состава и, исходя из их положения среди комплексов южной части Тектурмассской зоны.

Пластинообразные, пластино-иолиты, дациты на участке к северо-западу от пос. Акай и пластинообразные в горах Сарытау характеризуются содержаниями SiO_2 67.98–77.32; 75.19–76.84 и суммы щелочей $\text{Na}_2\text{O} + \text{K}_2\text{O}$ 4.91–6.26; 5.68–6.0 мас. % соответственно, относятся к породам нормальной щелочности и на диаграмме Ab-An-Or располагаются в поле трондемитов (рис. 6 а). По соотношению K_2O и SiO_2 они являются низкокалиевые породами, принадлежат известково-щелочной серии и имеют натриевый тип щелочности ($\text{Na}_2\text{O}/\text{K}_2\text{O} > 1$). Все изученные породы являются низкоглиноземистыми (<15% Al_2O_3) (рис. 6 б) и

по соотношению TiO_2 и SiO_2 соответствуют продуктам частичного плавления метабазитов океанической коры [11] (рис. 6 в).

Редкоэлементный состав обоих участков характеризуется низкими и умеренными содержаниями Zr (27–128; 54–118 г/т), низкими Nb (1.5–2.6; 2.5–2.7 г/т) и Rb (0.45–1.8 г/т), пониженными Sr (43–167; 71–139 г/т) и Ba (20–43; 24–32 г/т), умеренными Y (20–45; 16–39 г/т) и низким суммарным содержанием редкоземельных элементов (РЗЭ) (32.7–59.1; 25.3–58.7 г/т) соответственно (табл. 2).

Вулканиты средне-кислого состава и пластинообразные пластино-иолиты имеют сходные слабофракционированные распределения РЗЭ с небольшим обеднением легкими РЗЭ, горизонтальным распределением тяжелых РЗЭ, ($\text{La}_N/\text{Yb}_N = 0.68–0.84$; 0.48–0.62) и небольшой отрицательной ($\text{Eu}/\text{Eu}^* = 0.54–0.90$; 0.72–0.96) Eu-аномалией (рис. 7 а). Пластинообразные пластино-иолиты и дациты по распределениям РЗЭ сопоставляются с пластинообразными надсубдукционными офиолитами Троодоса, Семайл и пластинообразными офиолитами фракционированного типа [13]. Спайдерграммы редких элементов, нормированных на состав примитивной мантии, всех изученных пород характеризу-

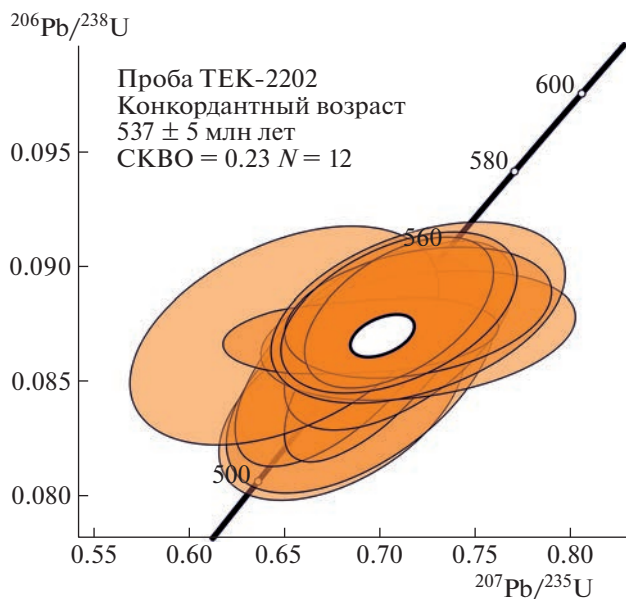


Рис. 5. Диаграмма с конкордией для циркона из пла-
гиогранитов Тектурмасской зоны (проба TEK-2202).

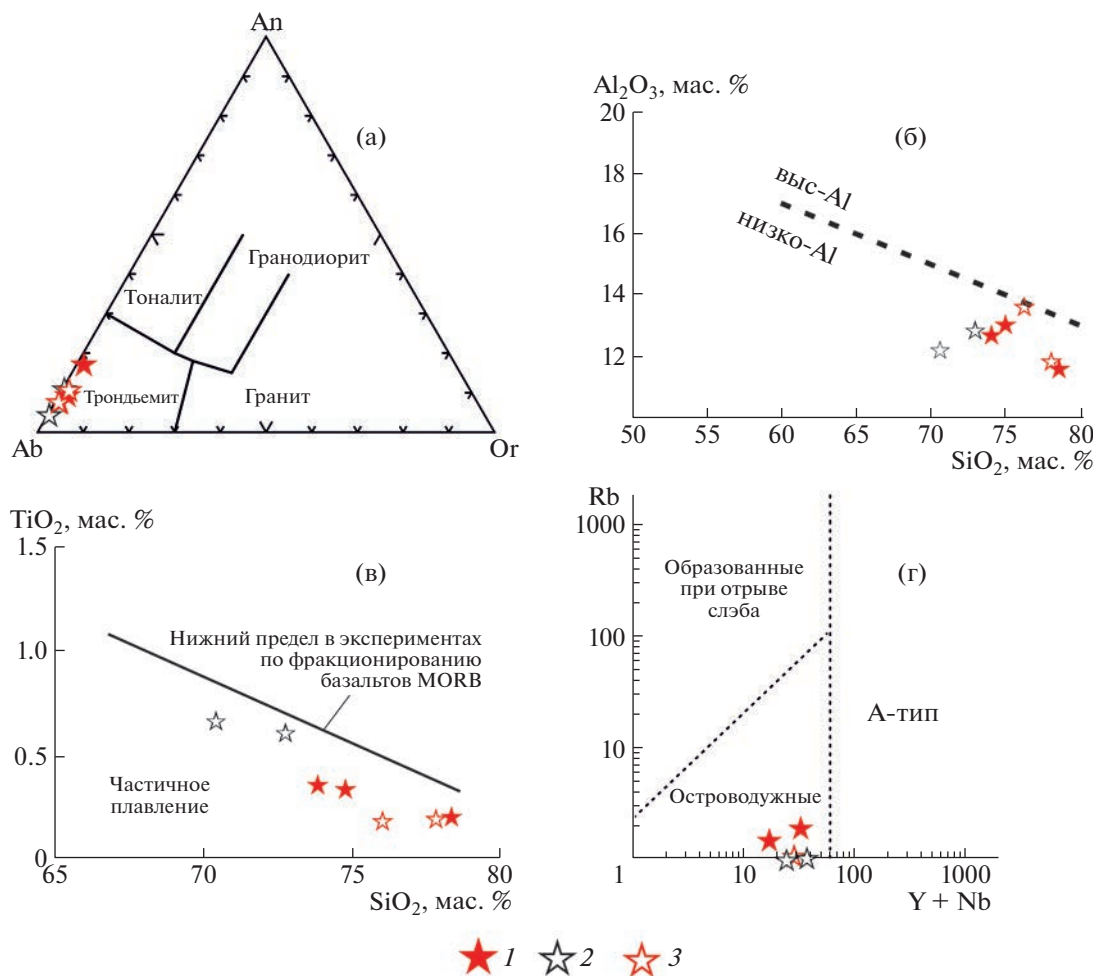


Рис. 6. Диаграммы Ab–An–Or (а), Al₂O₃–SiO₂ (б), TiO₂–SiO₂ (в) [11] Rb–(Y+Nb) (г) для вулканитов и пластиогранитов участка северо-западнее пос. Акай и пластиогранитов востока гор Сарытау. 1, 2 – породы участка северо-западнее пос. Акай: 1 – пластиограниты, 2 – пластиограниты, дакиты; 3 – пластиограниты востока гор Сарытау.

ются минимумами Nb, Ta, P, Ti (рис. 7 б). По особенностям распределения редких и редкоземельных элементов изученные породы резко отличаются от пластиогранитов раннеордовикских офиолитов южной части Тектурмасской зоны [9].

На диаграмме Rb–Y + Nb [15], разделяющей гранитоиды, формировавшиеся в разных геодинамических обстановках, точки составов изученных вулканитов и пластиогранитов располагаются в поле островодужных гранитоидов (рис. 6 г).

Таким образом, в южной части Тектурмасской зоны выявлены островодужные надсубдукционные комплексы раннекембрийского возраста, представленные эфузивами кислого и среднекислого состава, а также пластиогранитами. Эти породы имеют только тектонические соотношения с ордовикскими образованиями этой части зоны. В отличие от других офиолитовых зон Джунгаро-Балхашской области раннекембрийские надсубдукционные образования Тектурмасской зоны оказываются значительно древнее всех

Таблица 2. Петрогенные (мас. %) и редкие (г/т) элементы в раннекембрийских плахиогранитах, плахиориолитах, дакитах и плахиогранитах Сарытау

Образцы	TEK2107	TEK2201	TEK2202	TEK2109	TEK2111	CK-1780	TEK1931
№ п.п.	7	8	9	10	11	12	13
SiO ₂	77.32	73.48	72.42	70.82	67.98	75.19	76.84
TiO ₂	0.20	0.33	0.35	0.59	0.64	0.18	0.19
Al ₂ O ₃	11.43	12.80	12.44	12.49	11.77	13.46	11.67
Fe ₂ O ₃	0.52	3.39	4.07	2.32	1.58	1.08	1.78
FeO	1.46	—	—	2.97	2.15	1.49	0.88
MnO	0.06	0.06	0.09	0.11	0.08	0.06	0.09
MgO	0.97	1.02	1.41	2.65	1.79	0.61	0.51
CaO	0.90	1.22	2.23	0.57	4.82	0.91	1.25
Na ₂ O	5.75	6.06	5.26	4.88	5.74	5.93	5.53
K ₂ O	0.11	0.19	0.15	0.03	0.04	0.08	0.15
P ₂ O ₅	0.04	0.06	0.06	0.14	0.10	0.03	0.04
п.п.п.	1.08	1.38	1.53	2.11	3.07	0.71	0.94
Сумма	99.84	100.00	100.01	99.67	99.77	99.72	99.88
Sc	11	14	14	15	21	10	12
V	16	19	27	19	40	11	5
Cr	44	28	24	42	52	15	11
Co	3	3	4	5	13	2	1
Ni	31	14	14	29	38	11	5
Ga	9.1	13.9	13.0	11.7	11.8	11.4	12.9
Rb	1	2	0	1	1	1	0
Sr	43	167	154	41	43	139	71
Y	24	45	20	31	22	39	16
Zr	128	130	27	125	69	118	54
Nb	2.1	2.6	2.2	2.4	1.5	2.7	2.5
Cs	0.15	0.05	0.13	0.06	0.07	0.07	0.07
Ba	37	43	35	30	20	32	24
La	3.00	4.35	2.85	2.21	2.80	4.24	1.68
Ce	9.72	11.72	5.20	7.72	7.65	12.72	3.67
Pr	1.49	2.05	1.15	1.17	1.18	1.95	0.77
Nd	7.93	10.94	6.71	6.43	6.56	10.69	4.66
Sm	2.65	3.83	2.44	2.33	2.15	3.58	1.69
Eu	0.62	1.09	0.68	0.63	0.75	1.00	0.47
Gd	3.26	5.13	2.94	3.41	3.01	4.88	2.34
Tb	0.58	1.00	0.54	0.72	0.53	0.91	0.45
Dy	3.85	6.92	3.65	5.15	3.59	6.36	3.26
Ho	0.85	1.58	0.86	1.17	0.80	1.40	0.71
Er	2.76	4.43	2.33	3.58	2.41	4.58	2.40
Tm	0.43	0.69	0.38	0.54	0.37	0.70	0.35
Yb	3.03	4.60	2.60	3.61	2.39	4.93	2.52
Lu	0.46	0.72	0.36	0.54	0.34	0.78	0.35
Hf	3.33	3.81	0.82	3.31	2.01	3.51	1.58
Ta	0.16	0.18	0.16	0.17	0.11	0.18	0.17
Pb	6.59	0.87	0.74	0.94	1.53	0.71	0.84
Th	0.48	0.65	0.30	0.51	0.32	0.63	0.31
U	0.35	0.41	0.10	0.49	0.77	0.32	0.12

1–5 – породы района северо-западнее пос. Акой: 1–3 – плахиограниты; 4 – плахиориолит; 5 – дакит; 6, 7 – плахиограниты востока гор Сарытау.

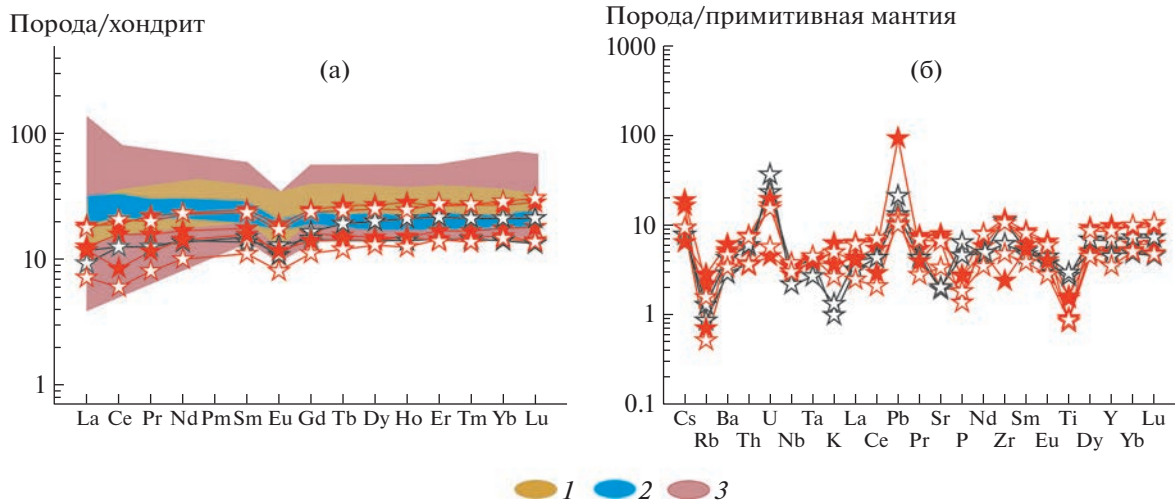


Рис. 7. Хондрит-нормализованные распределения РЗЭ (а) и спайдерграммы редких элементов, нормированных на состав примитивной мантии (б), для вулканитов и плагиогранитов участка северо-западнее пос. Акой и плагиогранитов востока гор Сарытау. 1, 2 – породы участка северо-западнее пос. Акой: 1 – плагиограниты, 2 – плагиориолиты, дациты; 3 – плагиограниты востока гор Сарытау; 4 – плагиограниты Троодоса; 5 – плагиограниты Семайл, 6 – фракционированный тип плагиогранитов офиолитов [13].

выявленных здесь фрагментов океанической литосферы. Поэтому формирование этих острово-дужных вулканитов и плагиогранитов не может быть связано с эволюцией океанических структур, комплексы которых участвуют в строении Тектурмассской зоны. Вероятно, образование выявленных раннекембрийских острово-дужных образований могло происходить в краевой части океанического бассейна, фрагменты комплексов которого установлены в зонах Майли, Танбалае и Северо-Балхашской.

ИСТОЧНИК ФИНАНСИРОВАНИЯ

Работы выполнены за счет средств Российского научного фонда, проект № 22-17-00069 в соответствии с планами научно-исследовательских работ ГИН РАН.

СПИСОК ЛИТЕРАТУРЫ

- Герасимова Н.А., Новикова М.З., Курковская Л.А., Якубчук А.С. Новые данные по стратиграфии нижнего палеозоя Тектурмасского офиолитового пояса (Центральный Казахстан) // Бюлл. МОИП. Отд. геол. 1992. Т. 67. Вып. 3. С. 60–76.
- Дегтярев К.Е., Третьяков А.А. Комpleксы океанической литосферы в палеозоях западной части Центрально-Азиатского пояса: обстановки формирования и возрастной диапазон // Геодинамическая эволюция литосферы Центрально-Азиатского подвижного пояса (от океана к континенту): Материалы научной конференции. ИЗК СО РАН, 2022. Вып. 20. С. 66–68.
- Новикова М.З., Герман Л.Л., Кузнецов И.Е., Якубчук А.С. Офиолиты Тектурмасской зоны // Магма-
- тизм и рудоносность Казахстана. Алма-Ата: Гылым, 1991. С. 92–102.
- Носова А.А., Возняк А.А., Богданова С.В., Савко К.А., Лебедева Н.М., Травин А.В., Юдин Д.С., Пейдж Л., Ларионов А.Н., Постников А.В. Раннекембрийский сиенитовый и монцонитовый магматизм на юго-востоке Восточно-Европейской платформы: петрогенезис и тектоническая обстановка формирования // Петрология. 2019. Т 27. № 4. С. 357–400.
- Якубчук А.С. Тектоническая позиция офиолитовых зон в палеозойской структуре Центрального Казахстана // Геотектоника. 1990. № 5. С. 55–68.
- Cohen K.M., Finney S.C., Gibbard P.L., Fan J.-X. The ICS International Chronostratigraphic Chart // Episodes. 2013; updated. V. 36. P. 199–204.
- Degtyarev K.E., Luchitskaya M.V., Tretyakov A.A., Pilitsyna A.V., Yakubchuk A.S. Early Paleozoic supra-subduction complexes of the North-Balkhash ophiolite zone (Central Kazakhstan): geochronology, geochemistry and implications for tectonic evolution of the Junggar-Balkhash Ocean // Lithos. 2021. V. 380–381. № 105818.
- Degtyarev K.E., Tolmacheva T.Yu., Tretyakov A.A. Siliceous –volcanic associations of the Northern Balkhash ophiolite zone (Central Kazakhstan): biostratigraphy, sedimentation and tectonic evolution in the Middle-Late Ordovician // Palaeogeography, Palaeoclimatology, Palaeoecology. 2020. V. 551. № 109748.
- Degtyarev K.E., Yakubchuk A.S., Luchitskaya M.V., Tolmacheva T.Yu., Skoblenko (Pilitsyna) A.V., Tretyakov A.A. Ordovician supra-subduction, oceanic and within-plate ocean island complexes in the Tekturmas ophiolite zone (Central Kazakhstan): age, geochemistry and tectonic implications // International geology review. 2022. V. 64. Is. 15. P. 2108–2150.
- Dilek Y., Furnes H. Ophiolites and Their Origins// Elements. 2014. V. 10. P. 93–100.

11. Koepke J., Berndt J., Feig S. T., Holtz F. The formation of SiO₂-rich melts within the deep oceanic crust by hydrous partial melting of gabbros // *Contrib. Mineral. Petrol.* 2007. V. 153. P. 67–84.
12. Larionov A.N., Andreichev V.A., Gee D.G. The Vendian alkaline igneous suite of northern Timan: ion microprobe U–Pb zircon ages of gabbros and syenite // *Geol. Soc.* 2004. V. 30. P. 69–74.
13. Li W.-X., Li X.-H. Adakitic granites within the NE Jiangxi ophiolites, South China: geochemical and Nd isotopic evidence // *Precam. Res.* 2003. V. 122. P. 29–44.
14. Ren R., Han B.F., Xu Z., Zhou Y.Z., Liu B., Zhang L., Chen J.F., Su L., Li J., Li X.H., Li Q.L. When did the subduction first initiate in the southern Paleo-Asian Ocean: new constraints from a Cambrian intra-oceanic arc system in West Junggar, NW China // *Earth Planet. Sci. Lett.* 2014. V. 388. P. 222–236.
15. Whalen J.B., Hildebrand R.S. Trace element discrimination of arc, slab failure, and A-type granitic rocks // *Lithos.* 2019. V. 348–349. № 105179.
16. Xu Z., Han B.F., Ren R., Zhou Y.Z., Zhang L., Chen J.F., Su L., Li X.H., Liu D.Y. Ultramafic–mafic mélange, island arc and post-collisional intrusions in the Mayile Mountain, West Junggar, China: Implications for Paleozoic intra-oceanic subduction–accretion process // *Lithos.* 2012. V. 132–133. P. 141–161.
17. Zheng B., Han B.F., Liu B., Wang Z.Z. Ediacaran to Paleozoic magmatism in West Junggar Orogenic Belt, NW China, and implications for evolution of Central Asian Orogenic Belt // *Lithos.* 2019. V. 338–339. P. 111–127.

THE FIRST FIND OF CAMBRIAN VOLCANITES AND PLAGIOGRAVITES IN TEKTURMAS OPHIOLITE ZONE (CENTRAL KAZAKHSTAN): AGE AND COMPOSITION

Academician of the RAS K. E. Degtyarev^{a, #}, M. V. Luchitskaya^a, and A. A. Tretyakov^a

^a*Geological Institute Russian Academy of Sciences, Moscow, Russian Federation*

[#]*E-mail: degtkir@mail.ru*

The complex of felsic rocks, intruded by plagiogranitic bodies are first revealed in the west of the Tekturmas ophiolite zone of Central Kazakhstan. The U–Pb (SIMS) geochronological study of one of the plagiogranitic bodies was carried out and the Early Cambrian age (537 ± 5 Ma) was first obtained. The peculiarities of effusives and plagiogranites composition indicate their formation in the supra-subduction setting within primitive volcanic island arc. Formation of this arc was not related to the evolution of the oceanic structures, which complexes participate in the structure of the Tekturmas zone.

Keywords: island arc volcanites and plagiogranites, zircon, Early Cambrian, Central Kazakhstan